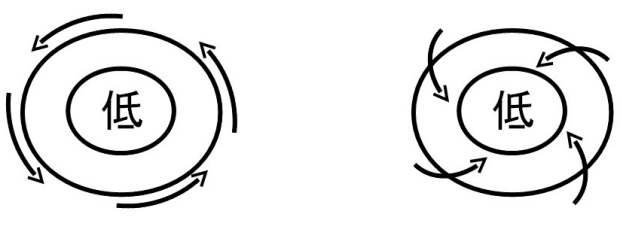
## 4 エクマン境界層

地衡風平衡が成り立つ場合、風は等圧線に平行に吹くので、低気圧や高気圧があっても、風が収束したり発散したりすることはない。しかし、地面との摩擦を考慮すると、地面付近の風は高気圧側から低気圧側に向かって、等圧線を横切って吹くようになる。このため、低気圧や高気圧では水平風の収束、発散が生じる。ここでは、地面付近において、摩擦の効果によって生じる、地衡風からのずれを計算し、さらに、低気圧や高気圧で生じる水平風の収束、発散について議論する。



低気圧のまわりの風の模式図(左:摩擦がない場合、右:摩擦がある場合)

## 4. 1 エクマン境界層

ブシネスク方程式系において、浮力項を消去し、コリオリカを考慮すると、水平方向の 運動方程式は、

$$\frac{D}{Dt}u - fv = -\frac{1}{\rho}\frac{\partial p}{\partial x} + v\nabla^2 u$$
 [1]

$$\frac{D}{Dt}v + fu = -\frac{1}{\rho}\frac{\partial p}{\partial y} + v\nabla^2 v$$
 [2]

と書ける。コリオリ係数 f と粘性係数 v 、密度  $\rho$  は一定とする。運動量の鉛直移流の効果を無視し、時間変化せず水平方向に一様な場を考えると、  $\frac{D}{Dt}u=0$  、  $\frac{D}{Dt}v=0$  だから、

$$fv - \frac{1}{\rho} \frac{\partial p}{\partial x} + v \frac{d^2}{dz^2} u = 0$$
 [3]

$$- fu - \frac{1}{\rho} \frac{\partial p}{\partial v} + v \frac{d^2}{dz^2} v = 0$$
 [4]

となる。気圧傾度力は高度によらず一定とする。地衡風を

$$u_0 = -\frac{1}{f\rho} \frac{\partial p}{\partial v}$$
 [5]

$$v_0 = \frac{1}{f \,\rho} \frac{\partial \,p}{\partial x} \tag{6}$$

と定義すると、

$$f\left(v-v_0\right)+v\frac{d^2}{dz^2}u=0$$
 [7]

$$-f\left(u-u_{0}\right)+v\frac{d^{2}}{dz^{2}}v=0$$
 [8]

と書ける。  $u'=u-u_0$  、  $v'=v-v_0$  とおくと、

$$f v' + v \frac{d^2}{dz^2} u' = 0$$
 [9]

$$-fu' + v\frac{d^2}{dz^2}v' = 0$$
 [10]

となる。[9]を z で2回微分すると、

$$f\frac{d^2}{dz^2}v' + v\frac{d^4}{dz^4}u' = 0$$
 [11]

となり、[11]を[10]に代入して、v'を消去すると、

$$v^2 \frac{d^4}{dz^4} u' + f^2 u' = 0$$
 [12]

が得られる。[12]を定数係数の線形常微分方程式として解くと、

$$u' = e^{-\frac{\sqrt{2}z}{2H}} \left( C_1 \cos \frac{\sqrt{2}z}{2H} + C_2 \sin \frac{\sqrt{2}z}{2H} \right) + e^{\frac{\sqrt{2}z}{2H}} \left( C_3 \cos \frac{\sqrt{2}z}{2H} + C_4 \sin \frac{\sqrt{2}z}{2H} \right)$$
[13]

ただし、

$$H = \sqrt{\frac{v}{f}} \tag{14}$$

さらに、[9]を用いると、

$$v' = e^{-\frac{\sqrt{2}}{2}\frac{z}{H}} \left( -C_1 \sin \frac{\sqrt{2}}{2}\frac{z}{H} + C_2 \cos \frac{\sqrt{2}}{2}\frac{z}{H} \right) + e^{\frac{\sqrt{2}}{2}\frac{z}{H}} \left( C_3 \sin \frac{\sqrt{2}}{2}\frac{z}{H} - C_4 \cos \frac{\sqrt{2}}{2}\frac{z}{H} \right)$$
[15]

境界条件として、地表面では、u=0、v=0 とすると、

$$u' = -u_0$$
,  $v' = -v_0$  (z=0)

だから、

$$C_1 + C_3 = -u_0, \quad C_2 - C_4 = -v_0$$
 [17]

無限上方では、風速 (u,v) は地衡風速  $(u_0,v_0)$  に収束するとすると、

$$u' \to 0, \quad v' \to 0 \quad (z \to +\infty)$$
 [18]

だから、

$$C_3 = 0$$
,  $C_4 = 0$  [19]

[17]、[19]より、

$$C_1 = -u_0, \quad C_2 = -v_0$$
 [20]

[17]、[20]を[13]、[15]に代入して、

$$u' = e^{-\frac{\sqrt{2}}{2}\frac{z}{H}} \left( -u_0 \cos \frac{\sqrt{2}}{2} \frac{z}{H} - v_0 \sin \frac{\sqrt{2}}{2} \frac{z}{H} \right)$$
 [21]

$$v' = e^{-\frac{\sqrt{2}}{2}\frac{z}{H}} \left( u_0 \sin \frac{\sqrt{2}}{2} \frac{z}{H} - v_0 \cos \frac{\sqrt{2}}{2} \frac{z}{H} \right)$$
 [22]

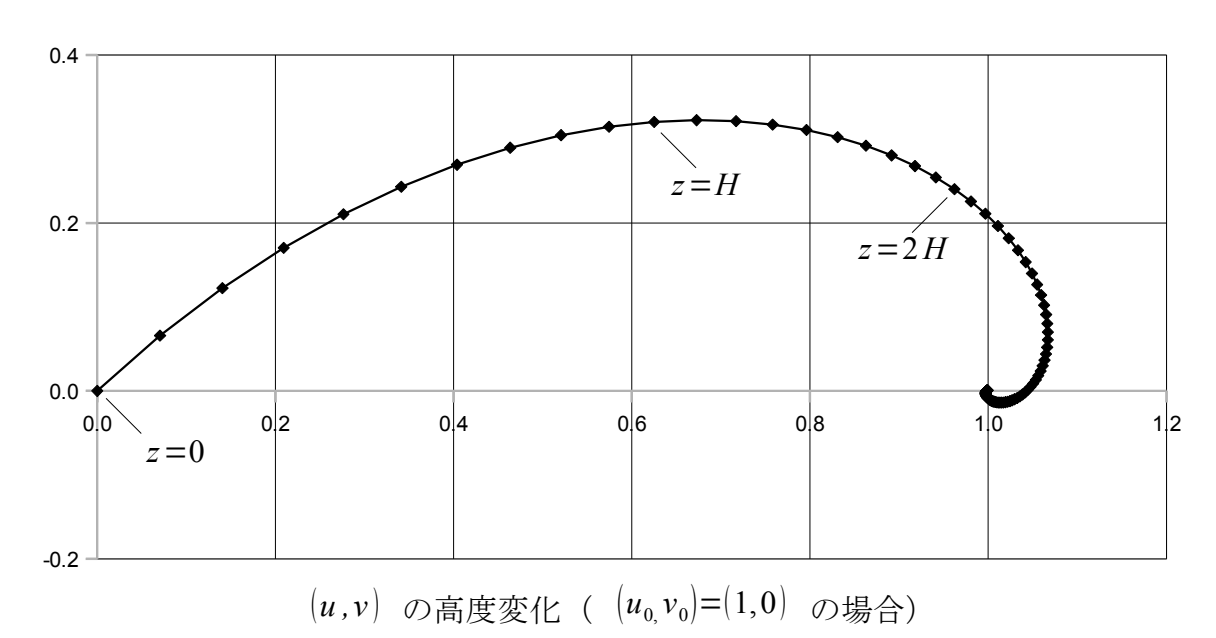
となって、

$$u = u_0 \left( 1 - e^{-\frac{\sqrt{2}z}{2H}} \cos \frac{\sqrt{2}z}{2H} \right) - v_0 e^{-\frac{\sqrt{2}z}{2H}} \sin \frac{\sqrt{2}z}{2H}$$
 [23]

$$v = u_0 e^{-\frac{\sqrt{2}z}{2H}} \sin \frac{\sqrt{2}z}{2H} + v_0 \left( 1 - e^{-\frac{\sqrt{2}z}{2H}} \cos \frac{\sqrt{2}z}{2H} \right)$$
 [24]

が得られる。

(u,v) の高度変化を図示すると、図のようになる。地表(z=0) では (u,v)=(0,0) であるが、上空に行くにつれて地衡風  $(u,v)=(u_0,v_0)$  に近づいていく。ただし、風速ベクトルは直線的に変化していくわけではなく、らせんを描くようにして変化することが分かる。これを**エクマンらせん**(Ekman spiral)とよぶことがある。また、粘性係数 v が鉛直方向にほぼ一定で、このような風速分布が成り立つ境界層を**エクマン境界層**(Ekman boundary layer)という。エクマン境界層では、気圧の高いほうから低いほうへ吹く成分があることがわかる。



エクマン境界層の鉛直スケールは[14]で定義した H によって決まる。中緯度における 典型的な条件として、コリオリ係数を  $f=10^{-4}$  /s、粘性係数を v=10 m²/s とすれば、 H=300 m である。つまり、エクマンらせんが明瞭にみられるエクマン境界層の厚さは 数 100m から 1km 程度である。

## 4. 2 エクマン収束・発散

上の図より、エクマン境界層での風速を鉛直方向に積分すると、低気圧に向かって正味で風が吹き込み、高気圧から風が吹き出していることが期待される。また、これに伴い、エクマン境界層の上端では鉛直流が生じていると考えられる。

ブシネスク方程式系において、連続の式は、

$$\frac{\partial}{\partial x}u + \frac{\partial}{\partial y}v + \frac{\partial}{\partial z}w = 0$$
 [25]

と書けた。地表面からじゅうぶん上方まで鉛直積分して、エクマン境界層上端での鉛直風 $w_E$  を計算する。[25]を用い、地表面ではw=0 であることを考慮すると、

$$w_E = \int_0^{+\infty} \frac{\partial w}{\partial z} dz = -\int_0^{+\infty} \left( \frac{\partial u}{\partial x} + \frac{\partial v}{\partial y} \right) dz$$
 [26]

が得られる。

[23]、[24]より、水平風の発散を計算すると、

$$\frac{\partial u}{\partial x} + \frac{\partial v}{\partial y} = -\left(\frac{\partial v_0}{\partial x} - \frac{\partial u_0}{\partial y}\right) e^{-\frac{\sqrt{2}z}{2H}} \sin\frac{\sqrt{2}z}{2H} + \left(\frac{\partial u_0}{\partial x} + \frac{\partial v_0}{\partial y}\right) \left(1 - e^{-\frac{\sqrt{2}z}{2H}} \cos\frac{\sqrt{2}z}{2H}\right)$$

$$= -\left(\frac{\partial v_0}{\partial x} - \frac{\partial u_0}{\partial y}\right) e^{-\frac{\sqrt{2}z}{2H}} \sin\frac{\sqrt{2}z}{2H}$$
[27]

となる。ここで、

$$\frac{\partial u_0}{\partial x} + \frac{\partial v_0}{\partial y} = 0$$

であることを用いた。[27]を鉛直方向に積分すると、

$$\int_{0}^{+\infty} \left( \frac{\partial u}{\partial x} + \frac{\partial v}{\partial y} \right) dz = -\left( \frac{\partial v_0}{\partial x} - \frac{\partial u_0}{\partial y} \right) \int_{0}^{+\infty} \left( e^{-\frac{\sqrt{2}}{2} \frac{z}{H}} \sin \frac{\sqrt{2}}{2} \frac{z}{H} \right) dz = -\frac{\sqrt{2}}{2} H \left( \frac{\partial v_0}{\partial x} - \frac{\partial u_0}{\partial y} \right)$$
[28]

が得られる。ただし、

$$\int_0^{+\infty} e^{-x} \sin x \, dx = \frac{1}{2} \tag{29}$$

を用いた。地衡風の渦度に比例して水平風の収束、発散が生じていることがわかる。このような収束、発散のことを、**エクマン収束**(Ekman convergence)、**エクマン発散**(Ekman divergence)とよぶ。

さらに、[26]、[28]より、エクマン境界層の上端での鉛直風  $w_E$  は、

$$w_{E} = -\int_{0}^{+\infty} \left( \frac{\partial u}{\partial x} + \frac{\partial v}{\partial y} \right) dz = \frac{\sqrt{2}}{2} H \left( \frac{\partial v_{0}}{\partial x} - \frac{\partial u_{0}}{\partial y} \right)$$
 [27]

と求められる。鉛直風は地衡風の渦度に比例し、低気圧性の渦度に対応して上昇流が生じることがわかる。低気圧の中心付近で水平風の収束や上昇流、高気圧の中心付近で発散や下降流が生じるのは、このためである。

- 問4.1 北半球において、ある台風の中心では地表面付近の地衡風速はゼロ、中心からの距離に比例して地衡風速が増大し、中心から100kmの場所では反時計回りに 2.0×10 m/s であるとする。地衡風の渦度を有効数字2桁まで求めよ。
- **問 4.2** 前問の台風について、コリオリ係数を  $f=5.0 \times 10^{-5}$  /s、粘性係数を  $v=1.0 \times 10$   $m^2$ /s として、エクマン境界層の厚さのスケール  $H=\sqrt{\frac{v}{f}}$  を有効数字 2 桁まで求めよ。
- 問 4.3 前問までの結果を用いて、エクマン境界層上端での鉛直風  $^{W_E}$  を有効数字 2 桁まで求めよ。